

$$W_0 = (\mathbf{n}\Omega_0) \frac{2\pi\Pi_0}{\tilde{F}(E_0)} \frac{1}{N_2^+} \sum_{j=1}^{N_2^+} \hat{F}_{2j}(x_0)$$

и начальным корреляционным весом

$$W_B = \sum_{j=1}^{N_2^+} \hat{F}'_{2j}(x_0) / \sum_{j=1}^{N_2^+} \hat{F}_{2j}(x_0) \approx M \frac{\hat{F}'_2(x_0)}{\hat{F}_2(x_0)}.$$

8. Аналогично выбираются начальные координаты, веса и прослеживаются N_{Γ_2} траекторий частиц, которые моделируют компонент потока $F_{\Gamma_2}(x)$.

9. Разыгрываются обычным образом из объемного источника $S_{V_2}(x)$ и прослеживаются прямым блужданием траектории N_{V_2} частиц, которые моделируют компонент потока $F_{V_2}(x)$.

10. По алгоритму 1 обрабатывается возмущенный объем V_1 , причем объем V_2 заменяется черным телом. В результате моделируются компоненты потока $F_{\Gamma_1}(x)|_{V_2}$ и $F_{V_2}(x)$ на $N_{\Gamma_1} + N_{V_1}$ траекториях.

Искомое возмущение функционала L оценивается на $N_{\Gamma_2} + N_{V_2} + N_{\Gamma_1} + N_{V_1}$ траекториях частиц методом корреляционных весов.

В зависимости от характера конкретного возмущения и возмущаемого функционала нетрудно сконструировать адекватную вычислительную схему на основе приведенных алгоритмов.

Поступило в Редакцию 11. I. 78

СПИСОК ЛИТЕРАТУРЫ

1. Михайлов Г. А. «Журн. вычисл. мат. и мат. физ.», 1967, т. 7, № 4, с. 915.
2. Золотухин В. Г. В кн.: Вопросы физики ядерных реакторов. Вып. 1. Обнинск, изд. ФЭИ, 1968, с. 140.
3. Хисамутдинов А. И. «Журн. вычисл. мат. и мат. физ.», 1968, т. 8, № 2, с. 467.
4. Kalos M. «Nucl. Sci. and Engng», 1968, v. 33, p. 284.
5. Irving D. «Nucl. Engng and Design», 1971, v. 15, p. 273.
6. Полевой В. Б. «Атомная энергия», 1973, т. 34, вып. 4, с. 296.
7. Полевой В. Б. В кн.: Ядерные константы. Вып. 20, ч. 2. М., Атомиздат, 1975, с. 176.
8. Lindauer E. «Ber. Forschungsarb. Inst. Kerntechn. Techn. Univ. Berlin», 1973, № 29 (Реф. журн. «Ядерная физика», 1975, вып. 4, № B724).

УДК 621.039.51

Распределение пористости в никеле при облучении ионами аргона

ЛЕБЕДЕВ С. Я., РУДНЕВ С. И.

Исследовано распределение пористости по глубине предварительно отожженных образцов никеля (99,9 ат. %) при облучении их ионами Ar^+ с энергией 1 МэВ при температуре 625 °С. Доза облучения составляла $7 \cdot 10^{16}$ ион/ cm^2 , плотность тока 4–6 мкА/ cm^2 . После облучения с поверхности образцов методом виброполировки снимали слои определенной толщины, затем с обратной стороны образцы электролитически утоняли и просматривали на электронном микроскопе.

При исследовании облученной поверхности образцов блистеры не были обнаружены, так как критическая

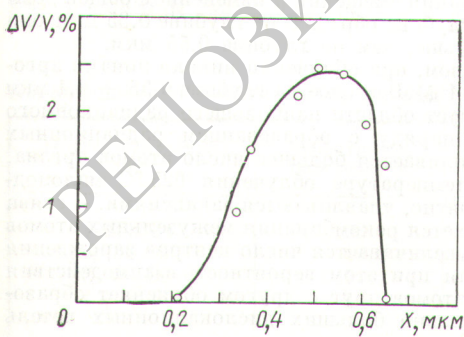


Рис. 1. Распределение объема полостей по глубине облученного образца

доза образования блистеров при указанных условиях составляет $(1,5 \div 2) \cdot 10^{17}$ ион/ cm^2 [1]. Электронно-микроскопическое исследование показало, что поры образуются на глубине 0,2–0,65 мкм. Начиная с глубины 0,45 мкм наряду с порами наблюдались дислокационные петли. График распределения объема полостей представлен на рис. 1. Согласно расчету, проведенному по известной методике [2], ионы аргона с энергией 1 МэВ пробегают $\sim 0,6$ мкм, а наибольшая плотность радиационных повреждений возникает на глубине $\sim 0,5$ мкм и для данной дозы облучения в пике повреждения составляет ~ 40 смеш./атом. Если принять во внимание, что все атомы аргона локализуются в довольно узком слое ($\sim 0,2$ мкм) в конце пробега, то концентрация газа здесь достигает 3–4 ат. %. Если даже предположить, что весь аргон находится в порах, то на одну пору приходится всего три атома аргона, т. е. наблюдаемые поры являются вакансационными с незначительным количеством газа. На микрофотографии структуры облученных образцов никеля (рис. 2) видно, что концентрация пор на глубине 0,55 мкм примерно в 13 раз выше, а их средний диаметр в два раза меньше, чем на глубине 0,35 мкм.

На рис. 3 представлены экспериментально полученные распределения пор по размерам на различной глубине от поверхности облученных образцов, а в таблице приведены вычисленные параметры. Видно, что распушение на глубине 0,55 мкм вызвано в основном высокой концентрацией пор, а на глубине 0,35 мкм — размерами этих пор.



Рис. 2. Микроструктура облученного никеля на глубине 0,25 мкм (а) и 0,55 мкм (б, в)

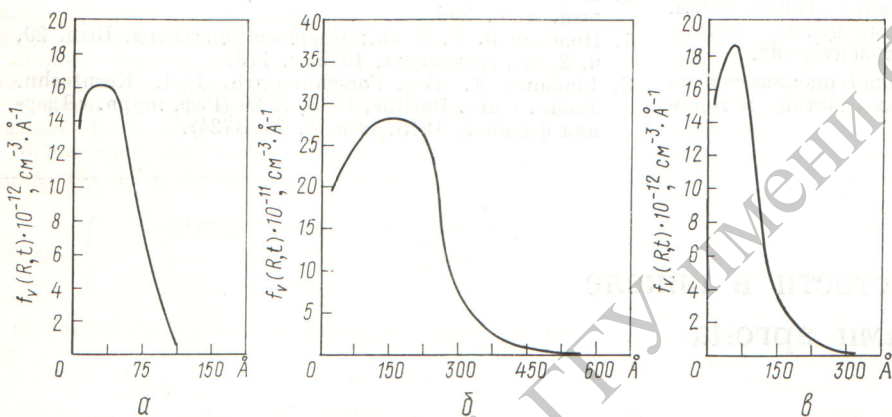


Рис. 3. Функции распределения полостей по размерам на глубине 0,2 мкм (а), 0,35 мкм (б) и 0,55 мкм (в)

Такое различие между размерами и концентрациями пор на глубине 0,35 и 0,55 мкм объясняется прежде всего высокой (3–4 ат. %) концентрацией атомов аргона на глубине 0,55 мкм. Как известно, газ, введенный в образец перед облучением, влияет на концентрацию и размер пор, ускоряет процесс образования пор, стабилизируя их на ранних стадиях [3]. Изменение химического состава также может приводить к изменению таких важных параметров, как энергия дефектов упаковки, коэффициенты диффузии, поверхностная энергия и т. п. В свою очередь различие между распределением и расщеплением пор может объясняться неодинаковой скоростью создания смещений и изменением общей дозы облучения по глубине образца: на глубине 0,35 мкм они в два раза меньше, чем на глубине 0,55 мкм.

Результаты обработки облученных образцов

Расстояние от облученной поверхности, мкм	Доза облучения, смешн./атом	N_V , см ⁻³	$\langle d_V \rangle$, Å	$\Delta V/V$, %	N_l , см ⁻³	$\langle d_l \rangle$, Å
0,2	5	$1,1 \cdot 10^{15}$	50	0,02	—	—
0,35	20	$1,5 \cdot 10^{15}$	210	1,7	—	—
0,55	40	$2 \cdot 10^{16}$	110	2,5	$6 \cdot 10^{14}$	300

О бозначения: N_V , N_l — концентрация пор и петель; $\langle d_V \rangle$, $\langle d_l \rangle$ — средний диаметр пор и петель; $\Delta V/V$ — объем пор.

Таким образом, при облучении никеля ионами аргона с энергией 1 МэВ в слое на глубине $0,55 \pm 0,1$ мкм (что соответствует области наибольшего радиационного повреждения) наряду с образованием радиационных дефектов накапливается большое число атомов аргона, которые при температуре облучения 625 °C малоподвижны, и, вероятно, улавливаются вакансиями. В связи с этим уменьшается рекомбинация межузельных атомов и вакансий и увеличивается число центров зарождения пор. Возросшая при этом вероятность взаимодействия межузельных атомов друг с другом объясняет образование сравнительно больших дислокационных петель 300 Å (см. рис. 2, б).

Поступило в Редакцию 2.II.78

СПИСОК ЛИТЕРАТУРЫ

1. Дубинский В. Е., Лебедев С. Я., Руднев С. И. Тезисы докладов VII Международной конференции по атомным столкновениям в твердом теле. М. Изд. ИЯФ МГУ, 1977, ч. II, с. I.36.

2. Lindhard J., Nielsen V., Scharff M. «Mat. Fys. Medd.», 1968, v. 36, N 10, p. 64.
 3. Лебедев С. Я., Панин С. Д., Руднев С. И. «Атомная энергия», 1975, т. 38, вып. 6, с. 426.

УДК 539.172.12

Выходы 135m Ва в ядерных реакциях $\text{Cs}(\alpha, pn)^{135m}$ Ва и $\text{La}(p, \alpha n)^{135m}$ Ва

ДМИТРИЕВ П. П., ПАНАРИН М. В.

Весьма эффективным медицинским радионуклидом является 135m Ва ($T_{1/2} = 28,7$ ч). Путем изомерного γ -перехода ($E_\gamma = 268, 24$ кэВ) 135m Ва распадается в основное состояние 135 Ва (см. таблицу). Данные, приведенные в таблице, получены из работы [1].

В настоящей работе измерены зависимости выхода 135m Ва от энергии бомбардирующих частиц при облучении цезия α -частицами и лантана протонами. Облучали соединение CsCl ; коэффициент пересчета выхода 135m Ва на чистый цезий равен 1,4; лантан облучали в виде металлических образцов. Энергию бомбардирующих частиц варьировали алюминиевыми тормозящими фольгами. Методика облучения образцов, измерения активности 135m Ва и интегрального заряда пучка с помощью мониторной медной фольги аналогична описанной в работе [2]. Активность 135m Ва измеряли по фотопику γ -линий 268,24 кэВ. Результаты измерения выходов 135m Ва приведены на рисунке. Погрешность экспериментальных значений выходов составляет $\pm 10-12\%$ и в основном обусловлена систематическими погрешностями при измерении активности 135m Ва и интегрального заряда пучка.

Измеренные кривые выхода наглядно показывают роль кулоновского барьера для протона и α -частицы, испускаемых в реакциях (α, pn) и $(p, \alpha n)$. Эффективный порог реакции $A (a, bxn) B$ можно рассчитать по формуле $E_p^{\text{eff}} = (-Q + U_B) \frac{A+a}{A}$, где Q — тепловой эффект реакции; $U_B = 0,96 \frac{Z_B Z_B}{B^{1/3} + B^{1/3}}$ — кулоновский барьер вылетающей частицы. В данном случае $E_p^{\text{eff}} = 22,6$ МэВ для реакции (α, pn) и $E_p^{\text{eff}} = 18,8$ МэВ

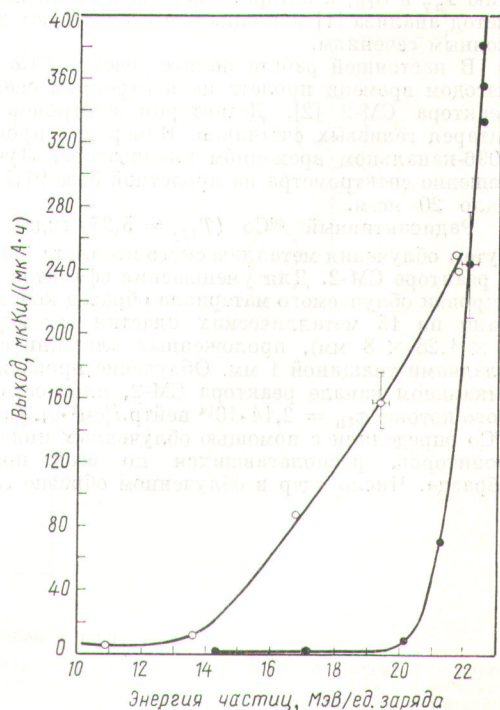
Характеристика квантового излучения 135m Ва

Энергия излучения, кэВ	Вероятность перехода, %	Квантовый выход, %
γ 268,24	100	15,6
K_α 32,06	49,9	44,4
K_β 36,56	11,2	9,9
L_X 4,47	74,1	11,4

Примечание: Для γ -излучения $\alpha_K = 3,91$; $\alpha_L = 1,23$ и $\alpha_n = 5,42$.

для реакции $(p, \alpha n)$. Именно при этих значениях энергии α -частиц и протонов начинается быстрый рост выхода (см. рисунок), хотя энергетические пороги этих реакций равны соответственно 15,5 и 2,66 МэВ.

Особый интерес представляет получение 135m Ва при облучении лантана протонами. Этот способ впервые предложен в настоящей работе. На циклотроне ФЭИ при максимальной энергии частиц выход 135m Ва для способа $\text{La} + p$ в 4 раза выше, чем для способа $\text{CsCl} + \alpha$, и, кроме того, в условиях промышленного получения 135m Ва мишень из металлического лантана может выдержать большую (в 4–5 раз) мощность пучка по сравнению с мишенью с хлористым цезием. Это означает, что производительность способа получения $\text{La} + p$ оказывается примерно в 15–20 раз выше по сравнению



Зависимость выхода 135m Ва от энергии частиц при облучении толстых мишеней цезия α -частицами (○) ($\times 2$) и лантана протонами (●)